# $^{239}$ Pu(n, f)瞬发裂变中子谱预平衡不对称

中子物理导论第四次大作业

杨哲涵 司书屹

工程物理系

2024-10-29

## 目录

| 引言      |   |
|---------|---|
| 实验测量和分析 | 5 |
| 实验结论    | 8 |
| 总结      |   |
| 参考文献    |   |

## 引言

**瞬发中子** 核裂变时,大部分的裂变中子均是一裂变就立即释出,称为瞬发中子(prompt fission neutron).

实验中,测得的瞬发中子谱(prompt fission neutron spectrum, PFNS)包括了后裂变中子谱与预平衡中子谱.前者对应前三裂变机会,后者对应第四裂变机会.

根据理论,预平衡预裂变谱具有两个特征:

- 预平衡预裂变中子的角分布在入射中子 动量的前向方向得到增强
- · 预平衡预裂变中子的角分布与裂变轴 (fission axis)无关

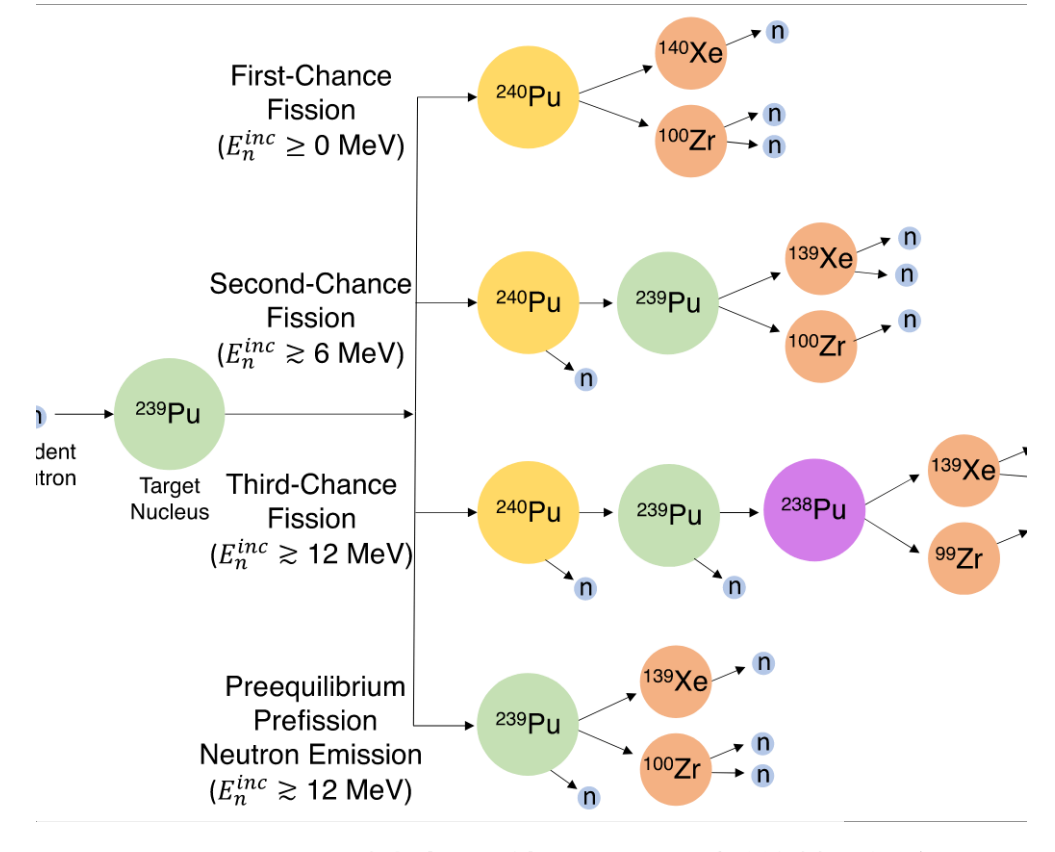


Figure 1: 入射中子能量与反应道的关系

**瞬发中子** 核裂变时,大部分的裂变中子均是一裂变就立即释出,称为瞬发中子(prompt fission neutron).

实验中,测得的瞬发中子谱(prompt fission neutron spectrum, PFNS)包括了后裂变中子谱与预平衡中子谱.前者对应前三裂变机会,后者对应第四裂变机会.

根据理论,预平衡预裂变谱具有两个特征:

- 预平衡预裂变中子的角分布在入射中子动量的前向方向得到增强
- · 预平衡预裂变中子的角分布与裂变轴 (fission axis)无关

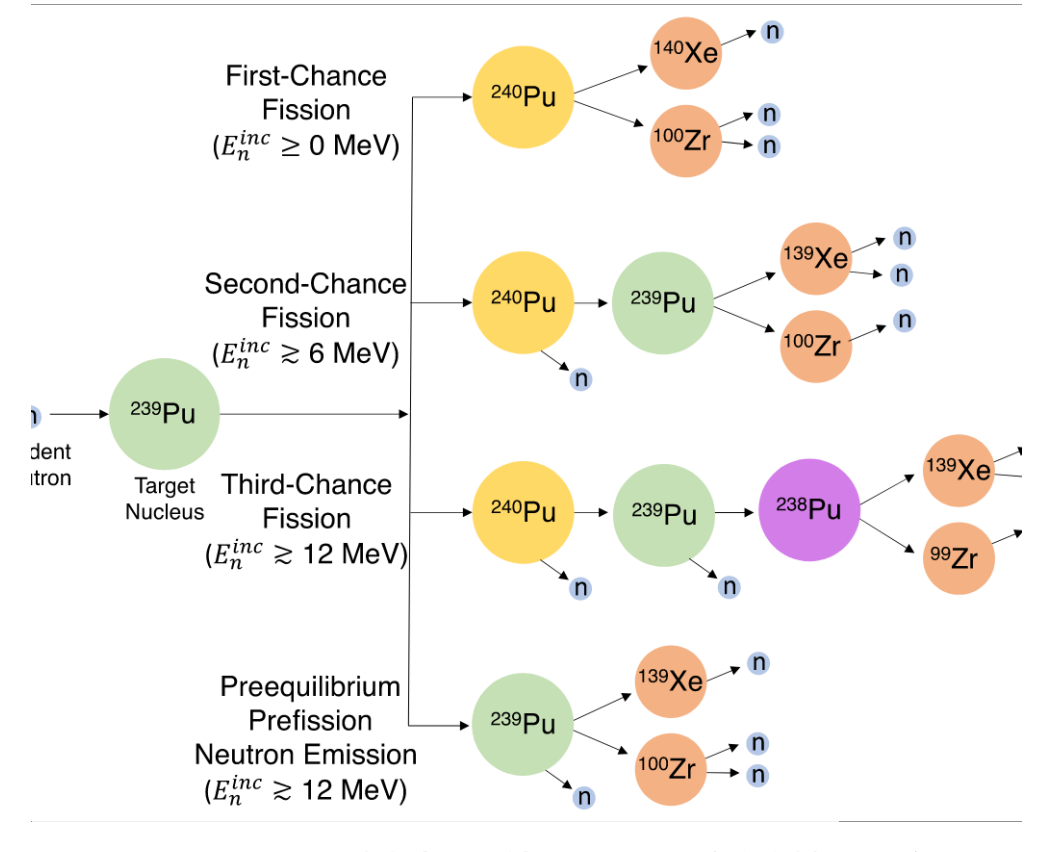


Figure 1: 入射中子能量与反应道的关系

**瞬发中子** 核裂变时,大部分的裂变中子均是一裂变就立即释出,称为瞬发中子(prompt fission neutron).

实验中,测得的瞬发中子谱(prompt fission neutron spectrum, PFNS)包括了后裂变中子谱与预平衡中子谱.前者对应前三裂变机会,后者对应第四裂变机会.

根据理论,预平衡预裂变谱具有两个特征:

- 预平衡预裂变中子的角分布在入射中子动量的前向方向得到增强
- 预平衡预裂变中子的角分布与裂变轴 (fission axis)无关

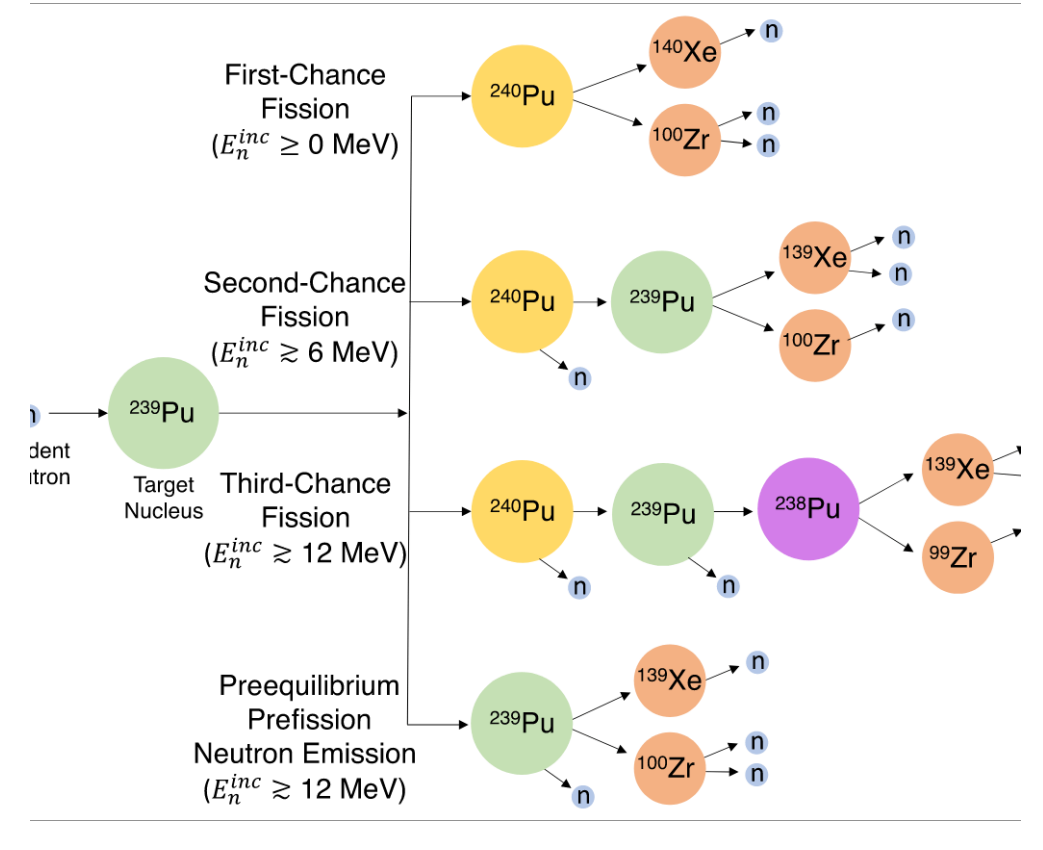


Figure 1: 入射中子能量与反应道的关系

**瞬发中子** 核裂变时,大部分的裂变中子均是一裂变就立即释出,称为瞬发中子(prompt fission neutron).

实验中,测得的瞬发中子谱(prompt fission neutron spectrum, PFNS)包括了后裂变中子谱与预平衡中子谱.前者对应前三裂变机会,后者对应第四裂变机会.

根据理论,预平衡预裂变谱具有两个特征:

- 预平衡预裂变中子的角分布在入射中子动量的前向方向得到增强
- 预平衡预裂变中子的角分布与裂变轴 (fission axis)无关

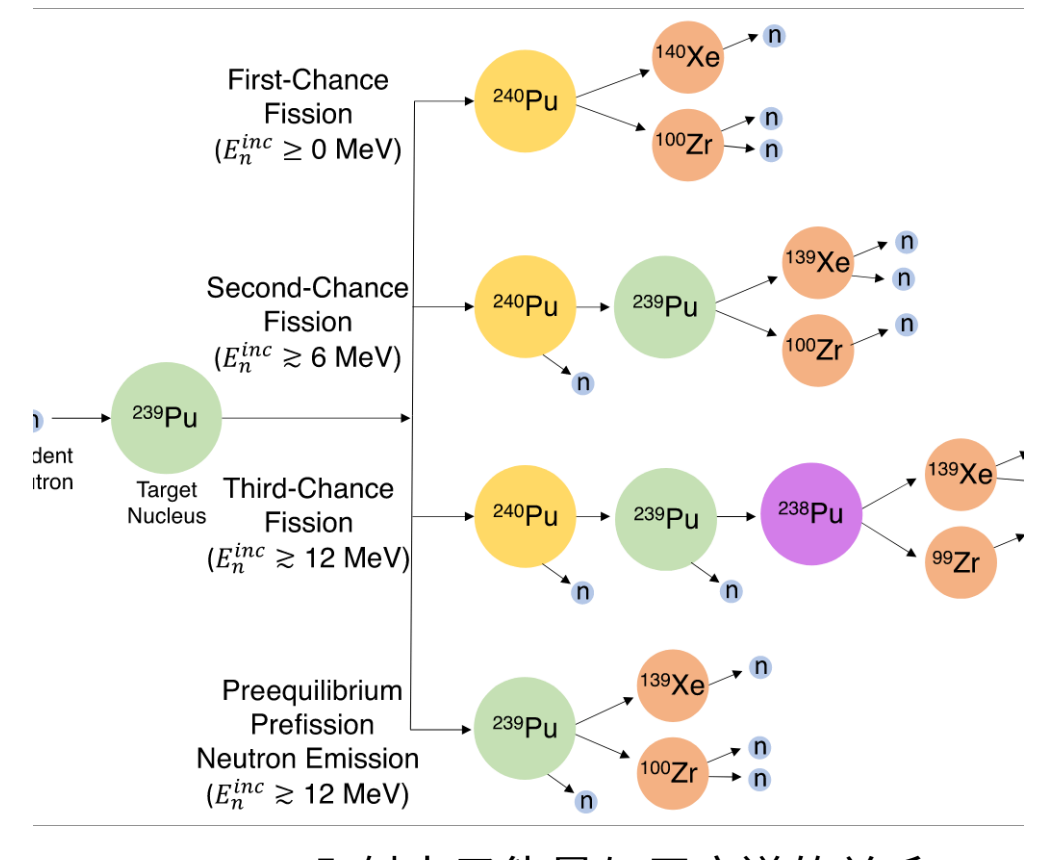
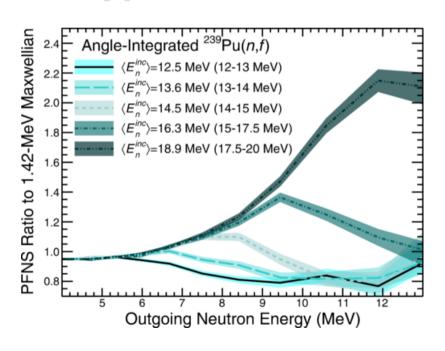
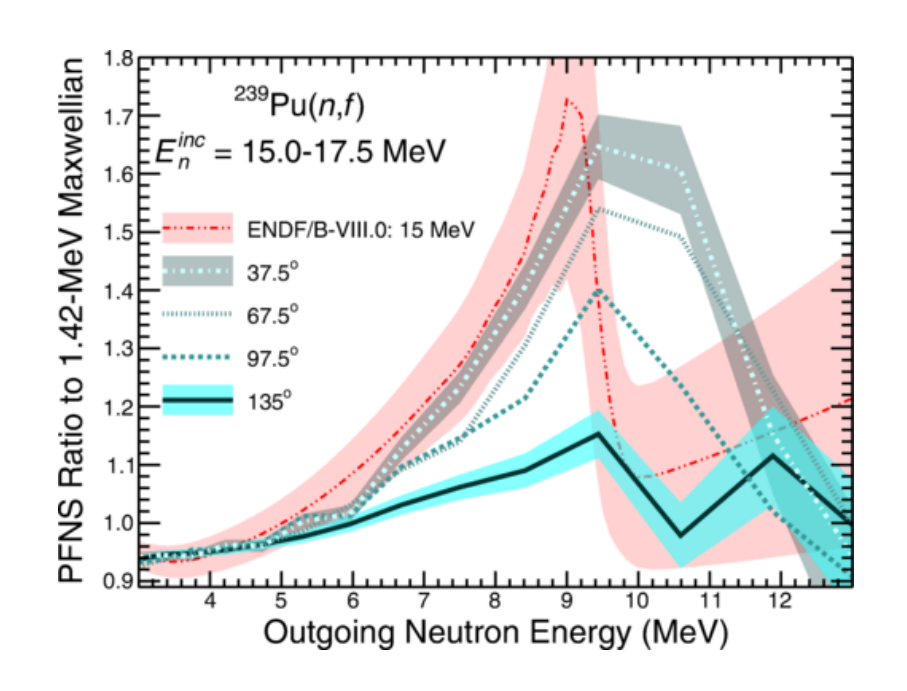


Figure 1: 入射中子能量与反应道的关系

以往的实验测量了 $^{232}$ Th,  $^{238}$ U的中子诱导裂变(neutron induced fission),证实了预 裂变预平衡中子的存在.

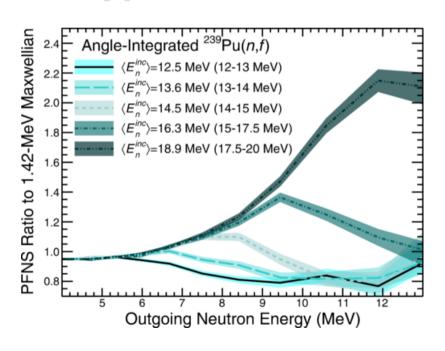
然而没有人做过连续双微分测量(continuous double-differential),即同时以入射中子能量,出射中子能量,测量角度作为变量测量预平衡预裂变中子的角分布.

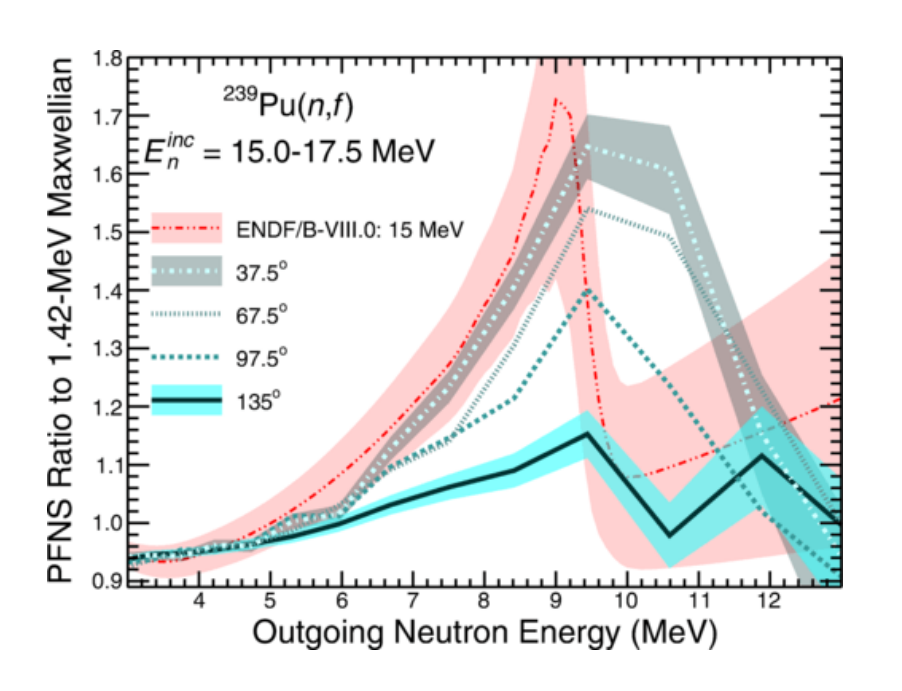




以往的实验测量了 $^{232}$ Th,  $^{238}$ U的中子诱导裂变(neutron induced fission),证实了预 裂变预平衡中子的存在.

然而没有人做过连续双微分测量(continuous double-differential),即同时以入射中子能量,出射中子能量,测量角度作为变量测量预平衡预裂变中子的角分布.

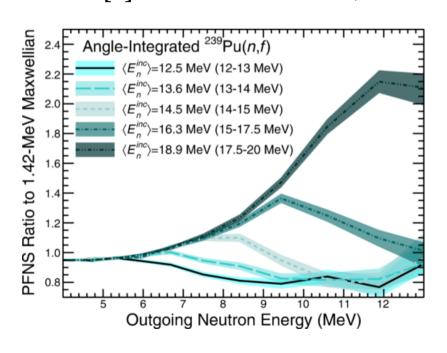


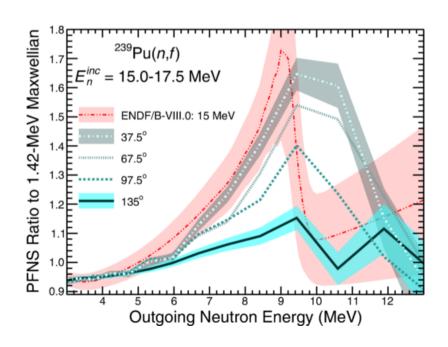


#### 预裂变中子谱与能量和角度的关系

以往的实验测量了 $^{232}$ Th,  $^{238}$ U的中子诱导裂变(neutron induced fission),证实了预 裂变预平衡中子的存在.

然而没有人做过连续双微分测量(continuous double-differential),即同时以入射中子能量,出射中子能量,测量角度作为变量测量预平衡预裂变中子的角分布.

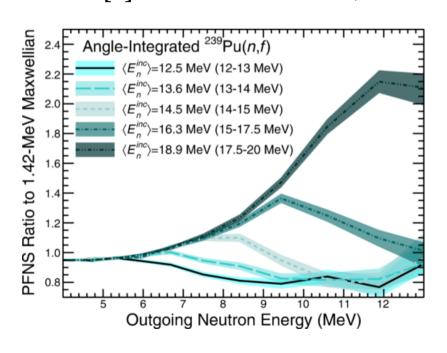


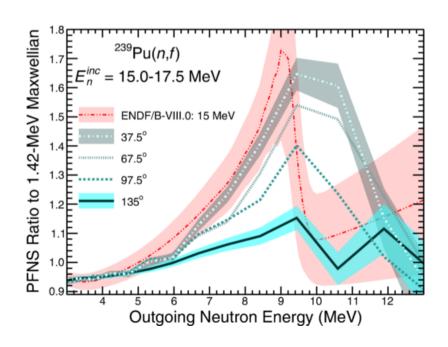


#### 预裂变中子谱与能量和角度的关系

以往的实验测量了 $^{232}$ Th,  $^{238}$ U的中子诱导裂变(neutron induced fission),证实了预 裂变预平衡中子的存在.

然而没有人做过连续双微分测量(continuous double-differential),即同时以入射中子能量,出射中子能量,测量角度作为变量测量预平衡预裂变中子的角分布.





## 实验测量和分析

#### 实验测量和分析

#### 实验装置

Chi-Nu 实验在洛斯阿拉莫斯中子科学中心(Los Alamos Neutron Science Center at Los Alamos National Laboratory)长期运行.

Chi-Nu 实验持续多年,旨在测量中子诱发裂变中释放的中子的能量谱,完成了对主要锕系元素同位素最详细的测量和误差分析.

 $^{239}$ Pu(n, f)实验通过一组分布在半球面上的 54 个液体闪烁体探测器测量中子能谱.靶为含有锕系元素的平行板雪崩计数器.此外,所有中子都来自于标记了裂变事例的中子.



Figure 4: Chi-Nu LiGl 阵列和实验环境



Figure 5: LiGl 探测器阵列



Figure 6: 平行板雪崩计数器

#### 实验装置

Chi-Nu 实验在洛斯阿拉莫斯中子科学中心(Los Alamos Neutron Science Center at Los Alamos National Laboratory)长期运行.

Chi-Nu 实验持续多年,旨在测量中子诱发裂变中释放的中子的能量谱,完成了对主要锕系元素同位素最详细的测量和误差分析.

 $^{239}$ Pu(n, f)实验通过一组分布在半球面上的 54 个液体闪烁体探测器测量中子能谱.靶为含有锕系元素的平行板雪崩计数器.此外,所有中子都来自于标记了裂变事例的中子.

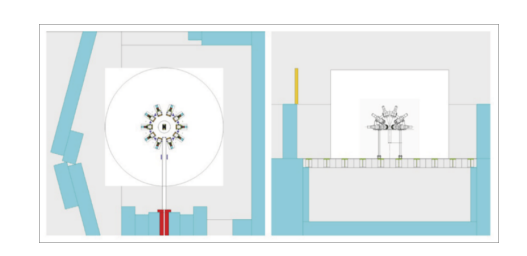


Figure 4: Chi-Nu LiGl 阵列和实验环境



Figure 5: LiGl 探测器阵列



Figure 6: 平行板雪崩计数器

#### 实验设置

实验测量出射中子的能谱,对于入射中子能量和测量角度,选取了如下数据:

| $\langle E_n^{ m inc}  angle$ | 范围         | 出射角度             |
|-------------------------------|------------|------------------|
| 12.5MeV                       | 12-13MeV   | 37.5 d           |
| 13.6MeV                       | 13-14MeV   | $67.5\mathrm{d}$ |
| 14.5MeV                       | 14-15MeV   | $97.5\mathrm{d}$ |
| 16.3MeV                       | 15-17.5MeV | $135\mathrm{d}$  |
| 18.9MeV                       | 17.5-20MeV |                  |

根据理论,预平衡预裂变中子的出现与入射中子能量有关.

- · 入射中子能量低于 12MeV,出射中子为后裂变中子,不存在预平衡预裂变中子.
- 入射中子能量高于 12MeV,预平衡预裂变中子开始产生,而且随着入射中子能量的增加, 能谱的硬化将更加显著.

由于更高能量入射中子的高能尾部超过了仪器的动态范围,出射中子能量最多测到 13MeV.

#### 实验设置

实验测量出射中子的能谱,对于入射中子能量和测量角度,选取了如下数据:

| $\langle E_n^{ m inc}  angle$ | 范围         | 出射角度             |
|-------------------------------|------------|------------------|
| 12.5MeV                       | 12-13MeV   | 37.5 d           |
| 13.6MeV                       | 13-14MeV   | $67.5\mathrm{d}$ |
| 14.5MeV                       | 14-15MeV   | $97.5\mathrm{d}$ |
| 16.3MeV                       | 15-17.5MeV | $135\mathrm{d}$  |
| 18.9MeV                       | 17.5-20MeV |                  |

根据理论,预平衡预裂变中子的出现与入射中子能量有关.

- 入射中子能量低于 12MeV,出射中子为后裂变中子,不存在预平衡预裂变中子.
- 入射中子能量高于 12MeV,预平衡预裂变中子开始产生,而且随着入射中子能量的增加, 能谱的硬化将更加显著.

由于更高能量入射中子的高能尾部超过了仪器的动态范围,出射中子能量最多测到 13MeV.

#### 实验设置

实验测量出射中子的能谱,对于入射中子能量和测量角度,选取了如下数据:

| $\overline{\langle E_n^{ m inc}  angle}$ | 范围         | • | 出射角度             |
|--|------------|---|------------------|
| 12.5MeV                                  | 12-13MeV   |   | 37.5 d           |
| 13.6MeV                                  | 13-14MeV   |   | $67.5\mathrm{d}$ |
| 14.5MeV                                  | 14-15MeV   |   | $97.5\mathrm{d}$ |
| 16.3MeV                                  | 15-17.5MeV |   | $135\mathrm{d}$  |
| 18.9MeV                                  | 17.5-20MeV |   |                  |

根据理论,预平衡预裂变中子的出现与入射中子能量有关.

- 入射中子能量低于 12MeV,出射中子为后裂变中子,不存在预平衡预裂变中子.
- 入射中子能量高于 12MeV,预平衡预裂变中子开始产生,而且随着入射中子能量的增加, 能谱的硬化将更加显著.

由于更高能量入射中子的高能尾部超过了仪器的动态范围,出射中子能量最多测到 13MeV.

## 实验结论

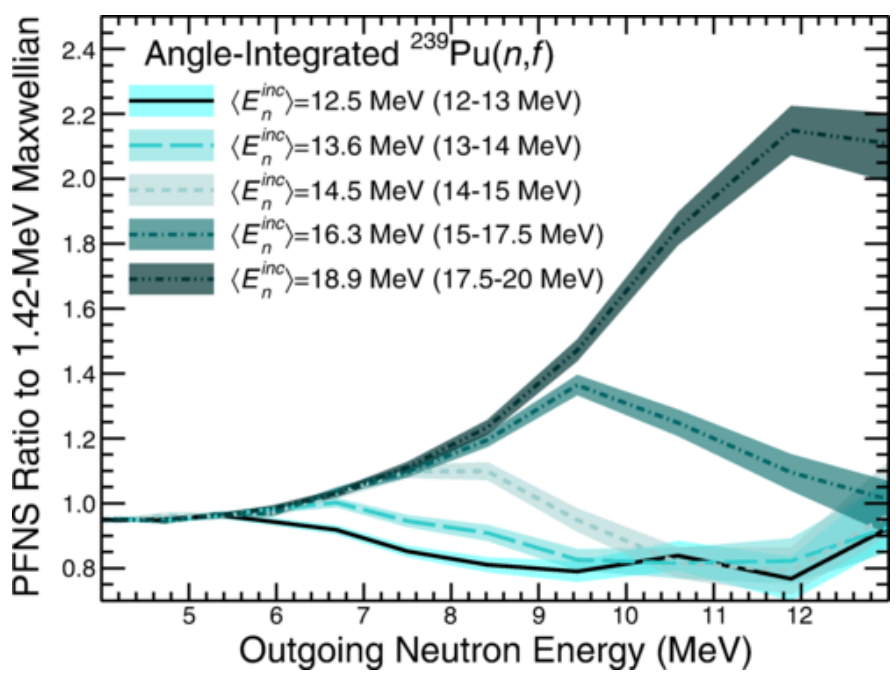


Figure 10:  $^{239}$ Pu(n, f)中子的能量依赖性

- 入射中子能量越高,裂变能谱的峰所对应的出射中子的能量就越高
- · 裂变能谱峰值比入射中子能量低大约 6MeV,这 是裂变结合能的大小

#### 预裂变不平衡与入射中子能量的关系

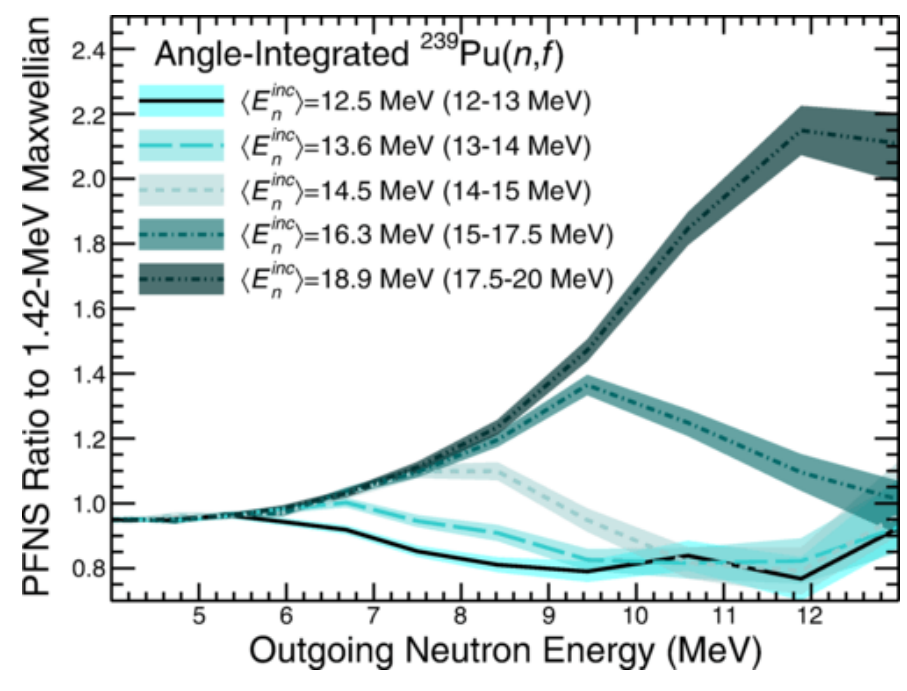


Figure 16:  $^{239}$ Pu(n, f)中子的能量依赖性

- 入射中子能量越高,裂变能谱的峰所对应的出射中子的能量就越高
- 裂变能谱峰值比入射中子能量低大约 6MeV,这 是裂变结合能的大小

#### 预裂变不平衡与入射中子能量的关系

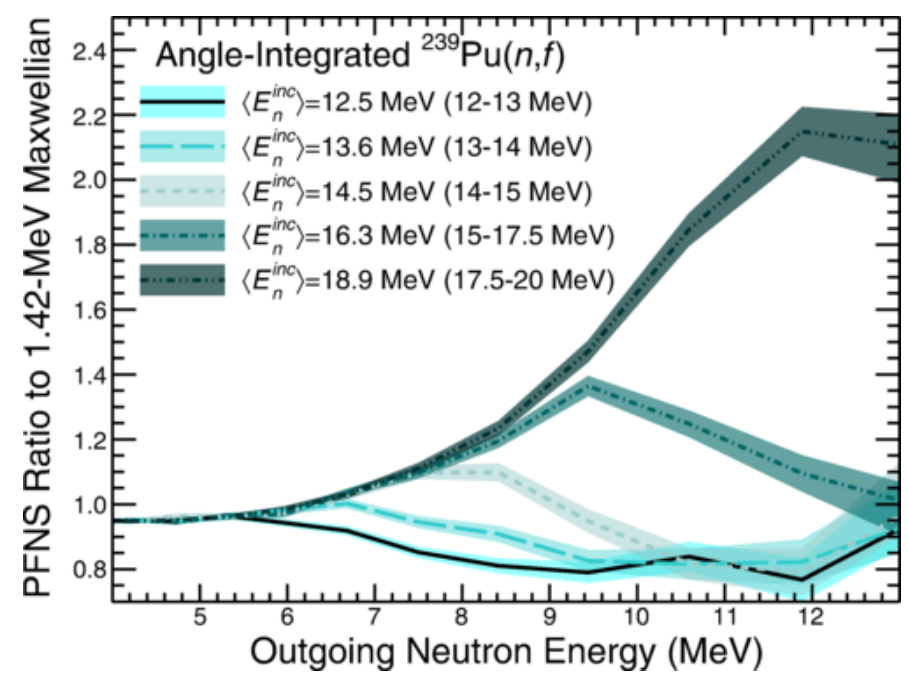


Figure 16:  $^{239}$ Pu(n, f)中子的能量依赖性

- 入射中子能量越高,裂变能谱的峰所对应的出射中子的能量就越高
- 裂变能谱峰值比入射中子能量低大约 6MeV,这 是裂变结合能的大小

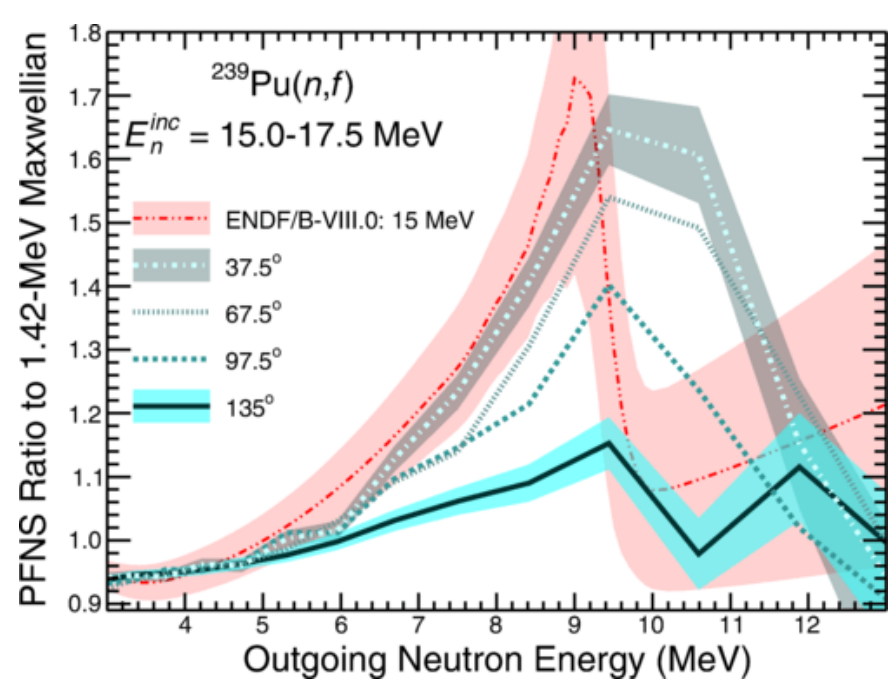


Figure 17:  $^{239}$ Pu(n, f)中子的角分布依赖性

- ENDF/B-VIII.0 的数据与角度无关,认为是所有角度平均的结果,且不同的测量角度的计数经过了缩放,让它们在 3-5MeV 的能量范围内重合.
- 出射角度越接近入射中子动量的前向方向,高 能部分计数越高

#### 预裂变不平衡与测量角度的关系

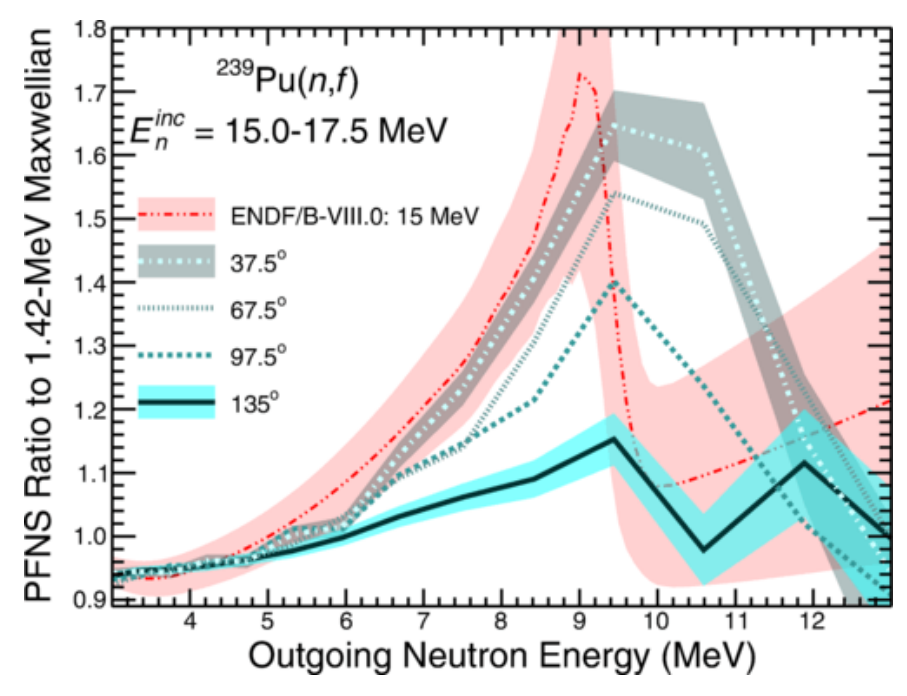


Figure 20:  $^{239}$ Pu(n, f)中子的角分布依赖性

- ENDF/B-VIII.0 的数据与角度无关,认为是所有角度平均的结果,且不同的测量角度的计数经过了缩放,让它们在 3-5MeV 的能量范围内重合.
- 出射角度越接近入射中子动量的前向方向,高 能部分计数越高

#### 预裂变不平衡与测量角度的关系

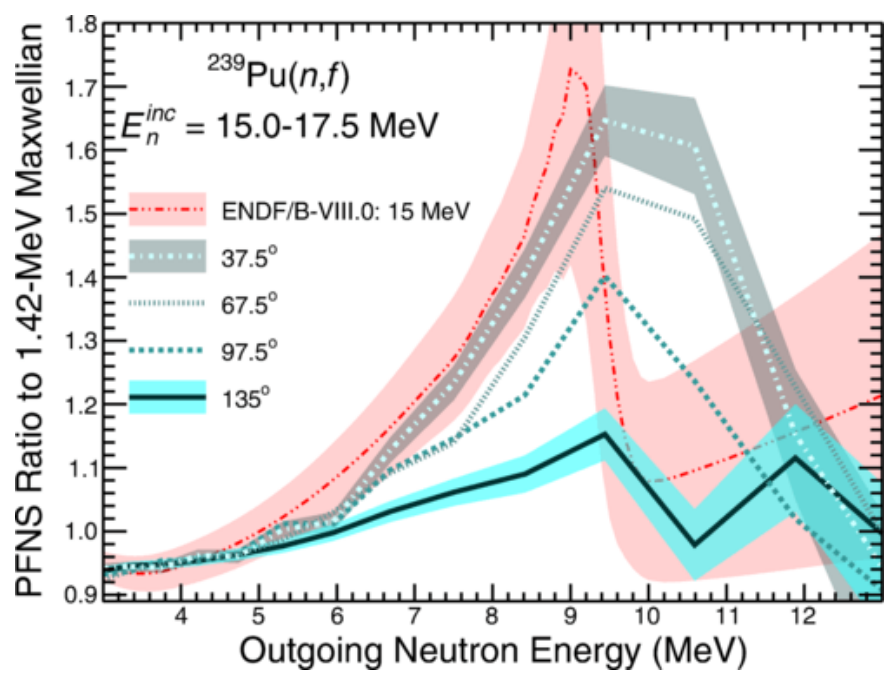


Figure 20:  $^{239}$ Pu(n, f)中子的角分布依赖性

- ENDF/B-VIII.0 的数据与角度无关,认为是所有角度平均的结果,且不同的测量角度的计数经过了缩放,让它们在 3-5MeV 的能量范围内重合.
- 出射角度越接近入射中子动量的前向方向,高 能部分计数越高

#### 预裂变不平衡的各向异性验证

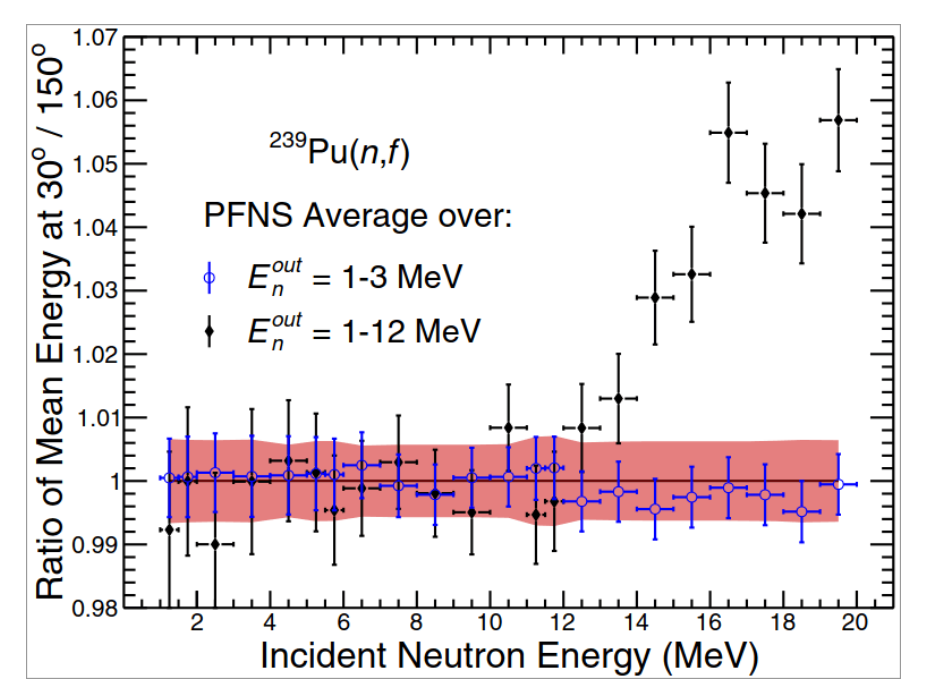


Figure 21: <sup>239</sup>Pu(n, f)出射方向 30 d/150 d计数

- 1-3MeV 的出射中子主要是后裂变中子,具有 高度的各向同性
- · 验证了预平衡预裂变中子的各向异性,即在 30 d和 150 d方向上的计数差异
- 1-12MeV 的出射中子含有预平衡预裂变中子,在 $E_n^{inc}$ 超过 16-17MeV 后,高能尾部计数不再增长,这是因为超过了仪器的动态范围

#### 预裂变不平衡的各向异性验证

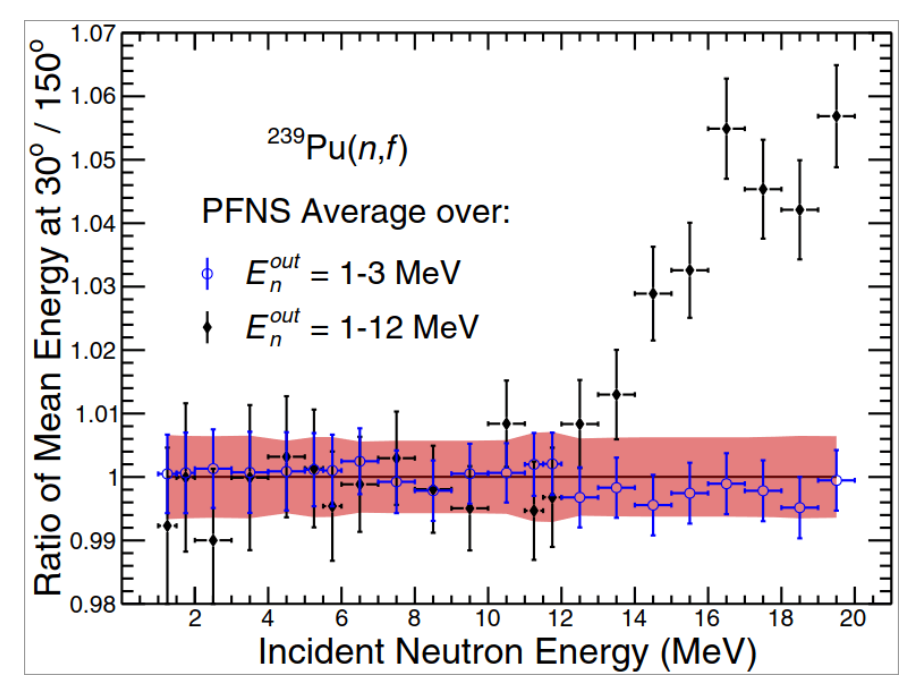


Figure 21: <sup>239</sup>Pu(n, f)出射方向 30 d/150 d计数

- 1-3MeV 的出射中子主要是后裂变中子,具有 高度的各向同性
- 验证了预平衡预裂变中子的各向异性,即在 30 d和 150 d方向上的计数差异
- 1-12MeV 的出射中子含有预平衡预裂变中子,在 $E_n^{inc}$ 超过 16-17MeV 后,高能尾部计数不再增长,这是因为超过了仪器的动态范围

#### 预裂变不平衡的各向异性验证

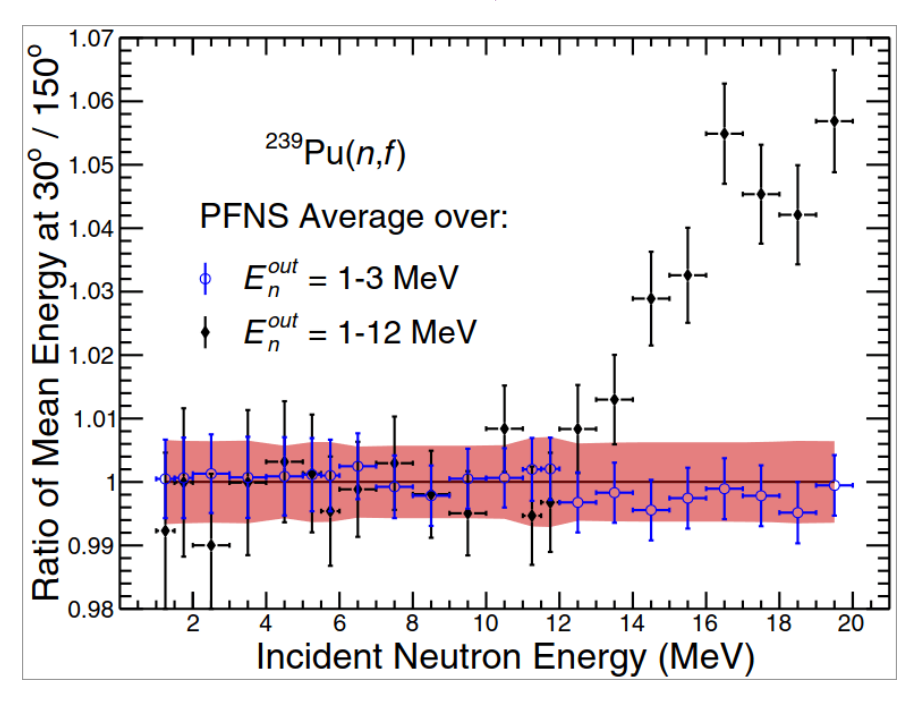


Figure 21: <sup>239</sup>Pu(n, f)出射方向 30 d/150 d计数

- 1-3MeV 的出射中子主要是后裂变中子,具有 高度的各向同性
- 验证了预平衡预裂变中子的各向异性,即在 30 d和 150 d方向上的计数差异
- 1-12MeV 的出射中子含有预平衡预裂变中子,在 $E_n^{inc}$ 超过 16-17MeV 后,高能尾部计数不再增长,这是因为超过了仪器的动态范围

### FKK 模型

本文依赖的理论模型是 FKK 模型(The model of Feshbach, Kerman, and Koonin)

对预裂变中子,FKK 模型的 MSD(multiple step direct)-MSC(multiple step compound)可以用来描述不同能量和不同角度的裂变截面[2]

$$\left(\frac{\partial^2 \sigma}{\partial \Omega \partial E}\right)^{\text{MSC}} = \frac{1}{4\pi} \frac{\pi}{k^2} \sum_{J} (2J+1) 2\pi \frac{\langle \Gamma_{1J} \rangle}{\langle D_{1J} \rangle} \sum_{N} \sum_{\nu j} \frac{\left\langle \Gamma_{N}^{\uparrow \nu j} \rho^{\nu}(U) \right\rangle}{\langle \Gamma_{NJ} \rangle} \prod_{M=1}^{N-1} \frac{\left\langle \Gamma_{MJ}^{\downarrow} \right\rangle}{\langle \Gamma_{MJ} \rangle}$$

$$\left(\frac{\partial^{2} \sigma}{\partial \Omega \partial E}\right)^{\mathrm{MSD}} = \sum_{\lambda} \frac{2\lambda + 1}{2s_{a} + 1} \frac{\mu_{a} \mu_{b}}{\left(2\pi \hbar^{2}\right)^{2}} \frac{k_{b}}{k_{a}} \sum_{m m_{b} m_{a}} \left|T_{\lambda}^{m m_{b} m_{a}}(\theta)\right|^{2} \omega(p, h, E_{x}) R_{n}(\lambda)$$

其中各参数的含义详见[2],这里使用的 FKK 模型在后面给出了理论预测

### FKK 模型

本文依赖的理论模型是 FKK 模型(The model of Feshbach, Kerman, and Koonin)

对预裂变中子,FKK 模型的 MSD(multiple step direct)-MSC(multiple step compound)可以用来描述不同能量和不同角度的裂变截面[2]

$$\left(\frac{\partial^2 \sigma}{\partial \Omega \partial E}\right)^{\mathrm{MSC}} = \frac{1}{4\pi} \frac{\pi}{k^2} \sum_{J} (2J+1) 2\pi \frac{\langle \Gamma_{1J} \rangle}{\langle D_{1J} \rangle} \sum_{N} \sum_{\nu j} \frac{\left\langle \Gamma_{N}^{\uparrow \nu j} \rho^{\nu}(U) \right\rangle}{\langle \Gamma_{NJ} \rangle} \prod_{M=1}^{N-1} \frac{\left\langle \Gamma_{MJ}^{\downarrow} \right\rangle}{\langle \Gamma_{MJ} \rangle}$$

$$\left(\frac{\partial^{2} \sigma}{\partial \Omega \partial E}\right)^{\mathrm{MSD}} = \sum_{\lambda} \frac{2\lambda + 1}{2s_{a} + 1} \frac{\mu_{a} \mu_{b}}{\left(2\pi \hbar^{2}\right)^{2}} \frac{k_{b}}{k_{a}} \sum_{m m_{b} m_{a}} \left|T_{\lambda}^{m m_{b} m_{a}}(\theta)\right|^{2} \omega(p, h, E_{x}) R_{n}(\lambda)$$

其中各参数的含义详见[2],这里使用的 FKK 模型在后面给出了理论预测

### FKK 模型

本文依赖的理论模型是 FKK 模型(The model of Feshbach, Kerman, and Koonin)

对预裂变中子,FKK 模型的 MSD(multiple step direct)-MSC(multiple step compound)可以用来描述不同能量和不同角度的裂变截面[2]

$$\left(\frac{\partial^2 \sigma}{\partial \Omega \partial E}\right)^{\mathrm{MSC}} = \frac{1}{4\pi} \frac{\pi}{k^2} \sum_{J} (2J+1) 2\pi \frac{\langle \Gamma_{1J} \rangle}{\langle D_{1J} \rangle} \sum_{N} \sum_{\nu j} \frac{\left\langle \Gamma_{N}^{\uparrow \nu j} \rho^{\nu}(U) \right\rangle}{\langle \Gamma_{NJ} \rangle} \prod_{M=1}^{N-1} \frac{\left\langle \Gamma_{MJ}^{\downarrow} \right\rangle}{\langle \Gamma_{MJ} \rangle}$$

$$\left(\frac{\partial^2 \sigma}{\partial \Omega \partial E}\right)^{\text{MSD}} = \sum_{\lambda} \frac{2\lambda + 1}{2s_a + 1} \frac{\mu_a \mu_b}{\left(2\pi\hbar^2\right)^2} \frac{k_b}{k_a} \sum_{mm_b m_a} \left|T_{\lambda}^{mm_b m_a}(\theta)\right|^2 \omega(p, h, E_x) R_n(\lambda)$$

其中各参数的含义详见[2],这里使用的 FKK 模型在后面给出了理论预测

K-M **拟合** 实验结论

#### K-M(Kalbach-Mann)拟合方法是一种用于描述 MSD 和 MSC 拟合的方法[3],描述公式为

$$\left( \frac{\partial^2 \sigma}{\partial \Omega \partial E} \right) = \sigma_{\text{MSD}} \sum_{l=0}^{l_{\text{max}}} b_l P_l(\cos \theta)$$
 
$$+ \sigma_{\text{MSC}} \sum_{l=0, \Delta l=2}^{l_{\text{max}}} b_l P_l(\cos \theta)$$

由于测量预平衡中子,所以本实验中认为 $\sigma_{\mathrm{MSC}}=0$ ,有

$$\left(rac{\partial^2 \sigma}{\partial \Omega \partial E}
ight) = \sigma_{
m MSD} \sum_{l=0}^{l_{
m max}} b_l P_l(\cos heta)$$

由于拟合得到的 $\sigma_{\mathrm{MSD}}$ 包括真实的 MSD 截面和实验参数,所以本文没有提交 $\sigma_{\mathrm{MSD}}$ 的数值, 而是只给出了拟合曲线

K-M(Kalbach-Mann)拟合方法是一种用于描述 MSD 和 MSC 拟合的方法[3],描述公式为

$$\begin{split} \left(\frac{\partial^2 \sigma}{\partial \Omega \partial E}\right) &= \sigma_{\mathrm{MSD}} \sum_{l=0}^{l_{\mathrm{max}}} b_l P_l(\cos \theta) \\ &+ \sigma_{\mathrm{MSC}} \sum_{l=0, \Delta l=2}^{l_{\mathrm{max}}} b_l P_l(\cos \theta) \end{split}$$

由于测量预平衡中子,所以本实验中认为 $\sigma_{\rm MSC}=0$ ,有

$$\left(rac{\partial^2 \sigma}{\partial \Omega \partial E}
ight) = \sigma_{
m MSD} \sum_{l=0}^{l_{
m max}} b_l P_l(\cos heta)$$

由于拟合得到的 $\sigma_{\mathrm{MSD}}$ 包括真实的 MSD 截面和实验参数,所以本文没有提交 $\sigma_{\mathrm{MSD}}$ 的数值, 而是只给出了拟合曲线

K-M(Kalbach-Mann)拟合方法是一种用于描述 MSD 和 MSC 拟合的方法[3],描述公式为

$$\begin{split} \left(\frac{\partial^2 \sigma}{\partial \Omega \partial E}\right) &= \sigma_{\mathrm{MSD}} \sum_{l=0}^{l_{\mathrm{max}}} b_l P_l(\cos \theta) \\ &+ \sigma_{\mathrm{MSC}} \sum_{l=0, \Delta l=2}^{l_{\mathrm{max}}} b_l P_l(\cos \theta) \end{split}$$

由于测量预平衡中子,所以本实验中认为 $\sigma_{\rm MSC}=0$ ,有

$$\left(rac{\partial^2 \sigma}{\partial \Omega \partial E}
ight) = \sigma_{
m MSD} \sum_{l=0}^{l_{
m max}} b_l P_l(\cos heta)$$

由于拟合得到的 $\sigma_{ ext{MSD}}$ 包括真实的 MSD 截面和实验参数,所以本文没有提交 $\sigma_{ ext{MSD}}$ 的数值, 而是只给出了拟合曲线

**结果** 实验结论

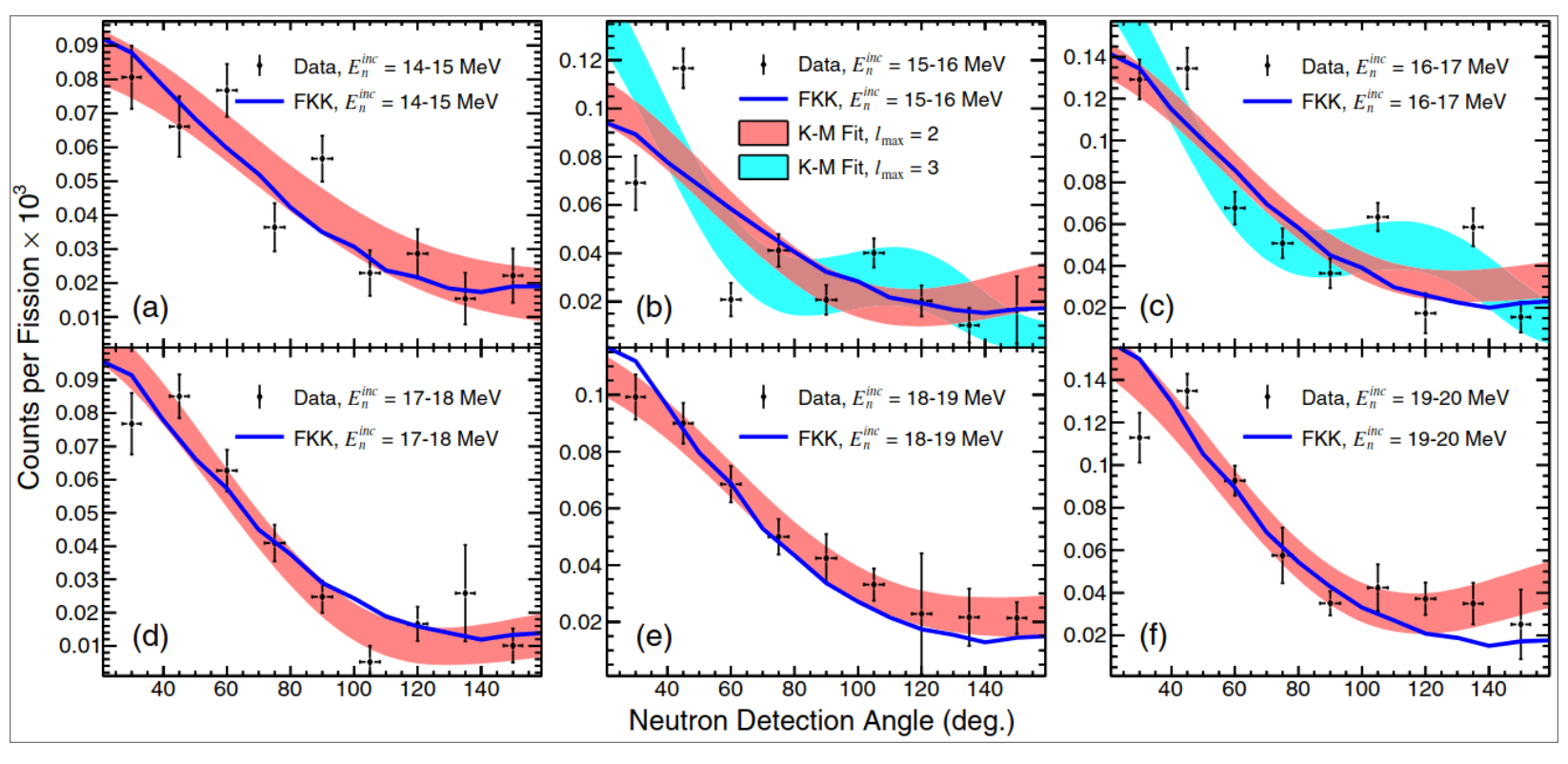


Figure 26:  $^{239}$ Pu(n, f)的角分布实验数据与拟合分析

在 PFNS 谱中将预平衡预裂变中子从后裂变中子本底中分离出来之后,利用 MCNP6 对中子探测效率和环境散射进行了修正,得到 Figure 26 展示的结果

## 讨论

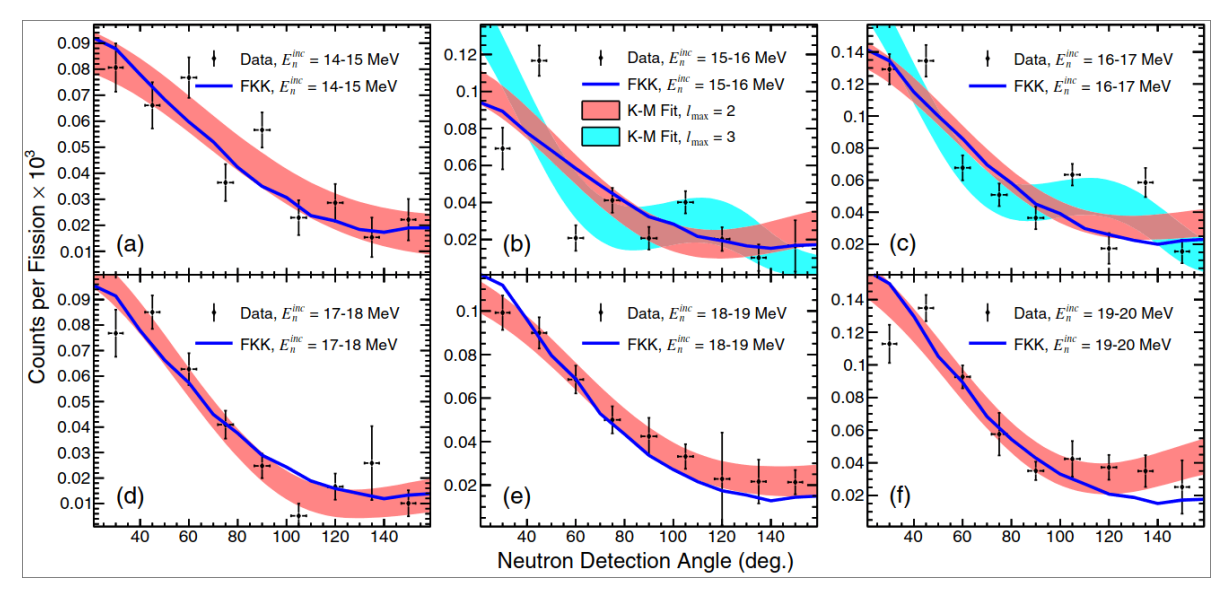


Figure 27:  $^{239}$ Pu(n, f)的角分布实验数据与拟合分析

- K-M 方法能够很好地拟合据的 角分布特性,适合描述预裂变预 平衡中子的角分布
- FKK 模型的估计值在这里没有 给出绝对截面,因此给出的曲线 是缩放过的.FKK 模型与实验结 果符合得很好,证实了预平衡预 裂变中子与裂变轴(fission axis) 无关

**贡献** 准确测了预裂变中子的角分布,未来的裂变模型需要符合 这一实验结果

## 总结

### 贡献

- 为了建立更全面完整的中子诱发核裂变模型,需要严谨地测量出射中子的能谱和角分布等性质并细化区分
- 针对出射中子束流的角分布,以往的理论模型预测不能令人满意.例如
  - ▶ 激子模型(exciton model)仅适用于预测能量分布,对角分布无能为力
  - ▶ FKK 模型采用了简化假设,其实用性有待进一步验证
- 因此,基于双微分测量方法给出具体的角分布数据,对于理论模型的验证和完善具有重要意义
- 本实验通过调节入射中子束流的能量和测量角度,测量瞬发中子谱并进行中子计数,从 多个角度验证了预平衡预裂变中子的性质,尤其关注
  - 角分布的各向异性:分布在入射中子动量的前向方向得到增强,且与裂变轴无关
  - ► 能量分布的"硬化(harder)":随着入射中子能量的增加,预平衡预裂变中子的平均能量 有所上升
- 此外,本实验结合了 FKK 模型和 K-M 拟合方法,对实验数据进行了分析,为理论模型的验证提供了重要的数据支持

#### 相关研究

- 2024 年,洛斯阿拉莫斯国家实验室和劳伦斯利弗莫尔国家实验室合作,对 $^{240}$ Pu(sf)和  $^{240}$ Pu(n,f)测量了更精确的瞬发裂变谱[4]
- $2023 \, \text{ft}, ^{240} \text{Pu}(n, f)$  预裂变中子的各向异性[5]
- 2020 年,1-20MeV 中子诱导 $^{239}$ Pu(n,f)的 10K-10MeV 瞬发裂变谱[6]

## 参考文献

- [1] K. J. Kelly et al., Preequilibrium Asymmetries in the \$^{239}\mathrm{Pu}(n,f)\$ Prompt Fission Neutron Spectrum, Physical Review Letters **122**, 72503 (2019).
- [2] T. Kawano, T. Ohsawa, M. Baba, and T. Nakagawa, Effect of the preequilibrium process upon fast neutron fission spectra from 238 U, Physical Review C **63**, 34601 (2001).
- [3] C. Kalbach and F. M. Mann, Phenomenology of continuum angular distributions. I. Systematics and parametrization, Physical Review C **23**, 112 (1981).
- [4] K. J. Kelly et al., Measurement of the prompt fission neutron spectrum from 800 keV to 10 MeV for Pu 240 (sf) and for the Pu 240 (n, f) reaction induced by neutrons of energy from 1–20 MeV, Physical Review C **109**, 64611 (2024).
- [5] V. M. Maslov, Anisotropy of Prompt Fission Neutron Spectra of ^{239}Pu(n, F) and ^{235} U(n, F), Phys. Part. Nucl. Lett. **20**, 1373 (2023).

[6] K. J. Kelly and others, Measurement of the Pu239(n,f) prompt fission neutron spectrum from 10 keV to 10 MeV induced by neutrons of energy 1–20 MeV, Phys. Rev. C **102**, 34615 (2020).